Vol. 38, No.6 Dec. 2019

doi:10.3969/j.issn.1003-2029.2019.06.008

基于均一化观测序列的成山头海表温度 气候变化特征分析

邹曙光,刘李钊,邹 琰

(国家海洋局烟台海洋环境监测中心站,山东 荣成 264321)

摘 要:文中利用加拿大环境部气候研究中心研发的惩罚最大 t 检验方法,选取均一的邻近气象站为参考站,结合元数据信息,对 1960-2017 年成山头海洋站海表温度序列进行了均一性检验与订正。利用订正后的海表温度序列对成山头海温气候变化特征进行分析。结果表明,订正前后年平均海表温度趋势发生了明显改变,表现出海温上升趋势较订正前加强的特征,增暖趋势由订正前的 0.04 °C/10 a 上升到 0.15 °C/10 a,其中最暖的 5 个年份多发生在 1980 年以后,分别为 1973 年、1989 年、2002 年、2007 年和 2017 年。海表温度总体呈显著上升趋势和明显的年代际波动,20 世纪 60 年代至 80 年代末为偏冷阶段,之后开始增暖,20 世纪 90 年代至今为偏暖阶段。 1960-2017年,成山头的海温突变点在 1987年,是一次增暖性突变,与中国大陆的气温突变特征和气温变化阶段性特征非常一致。

关键词:海水温度:气候变化:变化趋势:气候倾向率

中图分类号:P714 文献标志码:A 文章编号:1003-2029(2019)06-0051-05

海水温度是反映海水热力状况的一个重要物 理量,热通量(包括太阳辐射通量、长波辐射通量、 感热通量和潜热通量)是影响海水温度的主要因素 之一[1-2],海流(如沿岸上升流,台湾暖流,黄海暖流 等)对局部海区海水温度也有一定的影响。在开阔 海洋中,表层海水等温线的分布大致与纬圈平行, 在近岸地区,由于受海流等的影响,等温线向南北 方向移动。海水温度的垂直分布一般是随深度之增 加而降低,并呈现出季节性变化[3]。海水温度常常作 为研究水团性质,描述水团运动的基本指标。研究、 掌握海水温度的时空分布及变化规律,是海洋学的 重要内容,对于海上捕捞、水产养殖,及海上作战等 方面均具有十分重要意义,对气象、航海和水声等 学科也特别重要。中国近海靠近陆地和其独特的区 域因素, 近海海水温度比开阔大洋的变暖速率更 快。同时,进一步研究表明海水温度的升高不仅会 引起中国近海海洋环境和海洋生态系统的变化,如 海洋生产力的变化、赤潮等灾害的频发、生物物种的北移。但当前,针对局地小尺度范围的海水温度气候变化特征的分析研究还比较少。为此,本文主要对成山头海洋环境监测站监测的海水温度变化特征进行深入分析探讨,揭示局地气候变化的科学事实,以期为该地区海洋气候研究以及水产养殖等工作提供重要的指导依据,满足科学应对海洋气候变化服务需求。

1 研究区域概况

成山头位于山东省威海市荣成市成山镇,因地处成山山脉最东端而得名。成山头三面环海,一面接陆,距南北国际主航道仅5 nmile,与韩国隔海相望,仅距94 nmile。成山头海拔高度为200 m,东西宽1.5 km,南北长2 km,占地面积2.5 km²。成山头

直插入海,临海山体壁如削,崖下海涛翻腾,水流湍 急。该区域属温带海洋性季风气候,常年经受大风、 大浪和风暴潮的冲击,海域最大浪高达7m以上, 且受人类活动影响较小,是我国研究海洋气象、物 理海洋以及海洋能源等的宝贵科研基地。

资料来源与研究方法

本文资料主要来源于自然资源部成山头海洋 环境监测站 1960 年 1 月-2017 年 12 月逐月海水温 度资料。数据按照《海滨观测规范》(GB/T 14916)的 要求进行了严格的质量控制处理。同时,利用加拿 大环境部气候研究中心研发的 RHtestV4 软件包中 的 PMFT 方法[4-5],结合台站沿革信息,月平均 SST 进 行了非均一性检验,分析了造成其非均一的原因,对 检测出的非均一序列进行了订正,排除了非气候因 素(如仪器变更、环境改变和迁站等)的影响[6]。

TPR 和贝叶斯方法是气候序列均一化的最佳 选择,加拿大环境部 Wang 等将 TPR 等应用效果较 好的统计方法引入惩罚因子研发了 PMF 和 PMT 两 种方法,这两种方法经验性地考虑了时间序列的滞 后一阶自相关,并嵌入多元线性回归算法,能够用 于检验、订正包含一阶自回归误差的数据序列的多 个间断点,使得误报率和检验能力在序列两端差的 问题得到改善。PMT方法检验过程中需要建立参考 序列, 待检序列与参考序列的差值是被检验的对 象。PMT 方法四介绍如下:

PMT 方法基于惩罚最大 T 检验, 首先假设 $\{X_i\}$ $(t=1,\dots,N)$ 为正态分布序列,即原假设满足 $\{X_i\}$ ~ $IID\lambda(\mu,\sigma^2)$ 。假设:

$$H_a: \begin{cases} \{X_t\} \sim IID\lambda(\mu_1, \sigma^2), \ t=1, \cdots, k \\ \{X_t\} \sim IID\lambda(\mu_2, \sigma^2), \ t=k+1, \cdots, N \end{cases}$$
 (1)

式中: $\mu_1 \neq \mu_2$,若假设为真,则称 t=k 为一个间断 点。 $\{X_i\}\sim IID\lambda(\mu_1,\sigma^2)$ 代表 $\{X_i\}$ 服从高斯分布,其平均值 为 μ ,方差为 σ^2 。这种方法称为最大似然估计。其对 数形式的最大似然估计的判据可以转化为求下式 的最大值:

$$T(k) = \frac{1}{\sigma'_{k}} \left[\frac{k(N-k)}{N} \right]^{1/2} |\overline{X}_{1} - \overline{X}_{2}|, \ \sigma'_{k}^{2} = \overline{\sigma}_{k}^{2}$$

$$= \frac{1}{N-2} \left[\sum_{1 \leq t \leq k} (X_{t} - \overline{X}_{1})^{2} + \sum_{k+1 \leq t \leq N} (X_{t} - \overline{X}_{2})^{2} \right]$$
即可求 $T_{\text{mex}} = \max T(k) (1 \leq t \leq N-1)$ 的值。在此基础

上,有学者构造了一个统计函数 PT 作为显著性判据: PT(k)=P(k)T(k)

$$PT_{\text{max}} = \max[P(k)T(k)] \ (1 \le k \le N-1)$$

(3)

式中:P(k)为通过一系列试验得到的经验函数。 实践证明,这种方法较 SNHT 检验方法有较大的改 进和提高,均一参考序列的使用能有效提高对真实 的非气候断点的判断。

由于 PMT 方法在统计上的合理性, RHtests 软 件包的完整性和易操作性,同时该软件系统得到了 世界各国相关专家的借鉴和应用[68]。因此,本文利用 PMT 方法对成山头海洋站逐月 SST 序列进行均一 性检验,以找到可疑的间断点(或不连续点),然后 查看历史沿革元数据信息,如果元数据反映出在那 些可疑点时段发生了台站迁移、仪器换型等影响均 一性的变化,则认为这个可疑点是真正的非均一 点。对于保留的断点,采用RHtest V4 提供的分位数 匹配法(Quantile-Matching)进行订正,订正目的是 使去除线性趋势后的待检序列中,所有片断具有相 互匹配的经验分布。

本文参考台站的选择标准要求距离较近且该 站 SAT 年均序列和待检台站的 SST 年均序列的相关 系数接近或超过 0.7。对于选定的 SAT 序列,采用相 关系数权重平均的方法来构造参考序列,表达式为:

$$\bar{y}_{l} = \frac{\sum_{j=1}^{n} \rho_{j}^{2} \times x_{ji}}{\sum_{i=1}^{n} \rho_{i}^{2}}$$
 (4)

式中:i 为选取的参考台站个数;x 为参考台站 的地面气温月平均序列; ρ 为参考站 SAT 序列与待 检验的 SST 序列的相关系数:v 为构造的参考序列。该 方法构造出的参考序列回避了个别台站的影响,其均 一性更好。本站的参考气象台站 ID 分别为 54 751, 54 774 和 54 776, 相关系数分别为 0.70,0.74 和 0.72.

其中季节的划分采取常规的划分标准:3-5 月 为春季,6-8 月为夏季、9-11 月为秋季,12 月至次年 2月为冬季[9]。利用线性回归法[10],研究成山头海水 温度的年际、月际以及季节变化规律。本文采用最 小二乘法对海表温度距平序列的变化趋势进行估 计,并用t检验方法判断线性趋势的显著性水平。气 候突变常用气候状态特征量(平均值或方差)随不同 时间段的变化来衡量。本文采用累积距平统计量序 列进行趋势突变的判别,即在某年份的累积距平值 变化曲线中,当曲线出现极大值(或极小值)时,所 对应的年份前后两个时段累积距平持续性变化发 生转折,从持续的正(或负)距平趋势变化为负(或正)距平趋势,该时刻可能是趋势突变年份^[11]。

3 成山头海表温度变化特征分析

3.1 年平均海表温度年际变化特征

对气候观测资料序列进行均一化检验和订正的目的是为了将序列中人为造成的非均一断点剔除,得到均一和可靠的气候序列。这项工作是气候变化研究中最基础也是最关键的一项工作。图 1 给出了成山头海洋观测站均一化订正前和订正后年平均海表温度序列。可见,订正前的年平均海表温度在 1980 年以前显著偏高(图 1 黑色虚线),使得整体 SST 增暖速率偏低,为 0.04 $^{\circ}$ C/10 $^{\circ}$ 0 $^{$

$$r = \sqrt{\frac{\sum_{i=1}^{n} t_{i}^{2} - \frac{1}{n} (\sum_{i=1}^{n} t_{i})^{2}}{\sum_{i=1}^{n} x_{i}^{2} - \frac{1}{n} (\sum_{i=1}^{n} x_{i})^{2}}}$$
 (5)

对确定的显著性水平 α =0.05, α =0.01,得到相关系数临界值由相关系数临界值表查找 $r_{0.05}$ =0.273, $r_{0.01}$ =0.354。订正前 r=0.10,该趋势没有通过显著性水平检验,而订正后的 r=0.43,显著性水平大幅提高,超过了 0.01 的显著性水平,表明近 58 a,该地区海表温度呈显著的增暖趋势。

均一化订正后年平均海表温度气候统计特征显示,成山头近 58 a 年平均气温为 11.5 ℃,标准偏差为 0.6 ℃。年平均海表温度值多集中在 11.0~12.0 ℃之间,占总数的 62.1%。年平均海表温度最高值为12.8 ℃,出现在 1973 年;年平均海表温度最低值为9.6 ℃,出现在 1969 年,年平均海水温度最高值和最低值之间相差达 3.2 ℃(图 2)。成山头最冷的 5个年份均发生在 1980 年以前,分别为 1977 年、1963 年、1968 年、1976 年和 1969 年。最暖的 5个年份多发生在 1980 年以后,分别 1973 年、1989 年、2002 年、2007 年和 2017 年(图 1)。

3.2 年平均海表温度突变特征分析

图 3 为 1960-2017 年成山头年平均海表温度

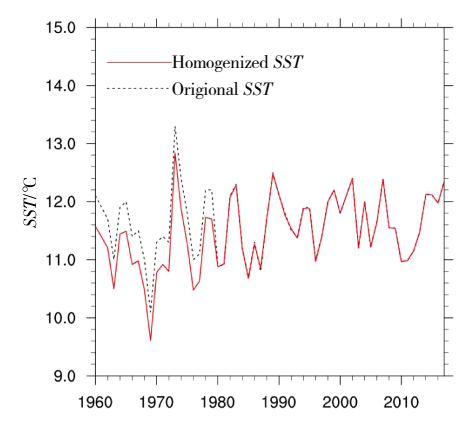


图 1 成山头海洋观测站均一化订正前/后年平均海表温度

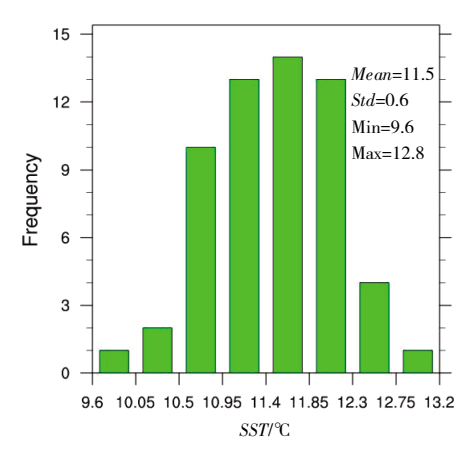


图 2 成山头海洋观测站均一化订正后年平均海表温度 气候统计特征

年代际变化,即去除 10 a 以下时间尺度变化的年代 际波动。由图中可知,成山头海表温度总体呈显著 上升趋势和明显的年代际波动。20世纪60年代至 80年代末为偏冷阶段,之后开始增暖,20世纪90 年代至今为偏暖阶段。在过去的 58 a 中,最冷的十 年出现在 20 世纪 60 年代, 最暖的 10 a 出现在 21 世纪的第一个十年。成山头海表温度变化阶段性特 征与中国气温的阶段性特征非常一致[12]。本文计算 了 1960-2017 年成山头海洋观测站均一化订正后 年平均海表温度的累积距平值,图 4 为其累积距平 曲线图。尽管海表温度的累积距平均为负值,但曲 线的变化形态却十分直观、清晰地展示出近58 a来 成山头海表温度经历了一次显著的波动。20世纪 60年代至80年代末,海表温度呈下降趋势,20世 纪 90 年代开始增长,上升趋势至今未减,其突变点 出现在 1987 年。研究表明中国气温增暖的突变点 在 1987 年[13]。可见,成山头在海温增暖的突变点和 中国大陆的突变点有着十分一致的配合。

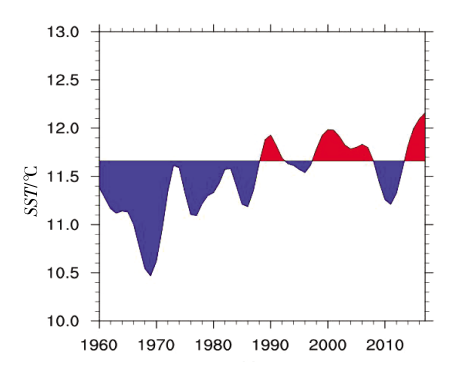


图 3 1960-2017 年成山头海洋观测站均一化订正后年平均 海表温度低频率滤波值曲线

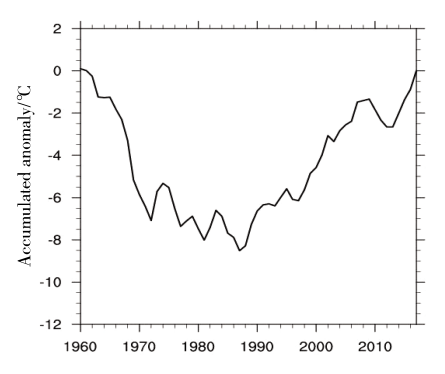


图 4 1960-2017 年成山头海洋观测站均一化订正后年平均海表温度的累积距平曲线

4 结论

- (1)对 1960-2011年成山头海海洋站年平均海表温度进行了均一性检验与订正。结果表明,该台站海表温度资料存在非均一性问题,早期人工观测和仪器变更使得海表温度观测值存在一定程度的偏高。
- (2) 订正前后成山头海海洋站年平均海表温度趋势发生了明显改变,表现出海温上升趋势较订正前加强的特征。增暖趋势由订正前的 0.04 ℃/10 a上升到 0.15 ℃/10 a。其中最暖的 5 个年份多发生在1980 年以后,分别 1973 年、1989 年、2002 年、2007年和 2017 年。
- (3)成山头海表温度总体呈显著上升趋势和明显的年代际波动。20世纪60年代至80年代末为偏冷阶段,之后开始增暖,20世纪90年代至今为偏暖阶段。1960-2017年,成山头的海温突变点在1987年,是一次增暖性突变,与中国大陆的气温突变特征和气温变化阶段性特征非常一致。

参考文献:

- [1] 李冰.海水表面温度红外测量方法的研究[D].天津:天津理工大学,2010.
- [2] 蔡泽浩, 谢华强. 海水温度测量的技术及发展[J]. 科技风, 2015(18): 19.
- [3] 金义亭,刘敬彪,章雪挺.高精度海水温度检测系统设计[J].电子器件,2011(05):542-545.
- [4] Wang X L, Wen Q H, Wu Y. Penalized maximal t test for detecting undocumented mean change in climate data series [J]. Journal of Apple Meteorological Climatology, 2007, 46(6): 916–931.
- [5] Wang X L. Penalized maximal F-test for detecting undocumented mean-shifts without trend-change [J]. Journal of Atmospheric Oceanic Technology, 2008, 25(3): 368–384.
- [6] 李琰,王国松,范文静,等. 2018.中国沿海海表温度均一性检验和订正[J]. 海洋学报, 2018, 40(1): 17-28.
- [7] 张高杰,何金海,周自江,等. RHtest 方法对我国降水资料的均一性检验试验[J].气象科技,2012,40 (6): 915-921.
- [8] 李琰, 牟林, 等. 2016. 环渤海沿岸海表温度资料的均一性检验与订正[J].海洋学报, 2016, 38(3): 27-39.
- [9] 程增辉,陆宝宏,王慧凤,等.山东地区气候要素变化特征分析及预测[J].水电能源科学,2017,35(05):10-14.
- [10] 郭磊,陈立春,范庆东.莱阳市近 40 年气温变化特征分析[J].科技创新导报,2013,3:160.
- [11] 魏凤英.现代气候统计诊断与预测技术[M]. 北京:气象出版社,2007.
- [12] 中国气象局. 中国气候变化蓝皮书(2017)[R]. 2018:72.
- [13] 尤卫红,段旭,等.全球、中国及云南近百年气温变化的层次结构和突变特征[J].热带气象学报,1998,14(2):173-180.

Climate Change Analysis of Sea Surface Temperature in Chengshantou Based on Homogenized Observatory Array

ZOU Shu-guang, LIU li-zhao, ZOU Yan

Yantai Oceanic Environmental Monitoring Central Station, State Oceanic Administration, Rongcheng 264321, Shandong Province, China

Abstract: The observational sea surface temperature (SST) data obtained from 1960 to 2017 of the Chengshantou marine station have been detected and adjusted by the Penalized Maximal t test (PMT) developed by the Climate Research Center of the Environment Ministry of Canada, and the detailed metadata archive. In this study, the homogenous surface air temperature (SAT) data from neighboring meteorological observation stations are used to construct the reference series by correlation coefficient weighted averaged method. The climate change characteristics of Chengshantou SST were analyzed using the homogenized data. Results show that the annual average SST trend has changed significantly before and after the homogenization. The warming trend increased from 0.04 °C/10 a before revision to 0.15 °C/10 a. The warmest five years occurred mostly after 1980, that is, 1973, 1989, 2002, 2007 and 2017. SST generally showed a significant upward trend and significant inter-decadal fluctuations. From the 1960s to the end of the 1980s, it was a colder stage, and then began to warm up. It was a warmer period from the 1990s to the present. From 1960 to 2017, the jump point occurred in 1987, which is very consistent with the temperature characteristics of the continent of China.

Key words: seawater temperature; climatic variability; changing trend; climatic tendency